

Starkniederschlagshöhen und -spenden gemäß KOSTRA-DWD-2020

Rasterfeld 177132

(Zeile 177, Spalte 132)

Regenspende und Bemessungsniederschlagswerte in Abhängigkeit von Wiederkehrzeit T und Dauerstufe D

| Dauerstufe D | | Wiederkehrzeit T | | | | | | | | | | | | | | | | | |
|--------------|-----|------------------|------------|------|------------|------|------------|------|------------|-------|------------|-------|------------|-------|------------|-------|------------|-------|------------|
| | | 1 a | | 2 a | | 3 a | | 5 a | | 10 a | | 20 a | | 30 a | | 50 a | | 100 a | |
| min | Std | mm | l / (s ha) | mm | l / (s ha) | mm | l / (s ha) | mm | l / (s ha) | mm | l / (s ha) | mm | l / (s ha) | mm | l / (s ha) | mm | l / (s ha) | mm | l / (s ha) |
| 5 | | 6,7 | 223,3 | 8,3 | 276,7 | 9,2 | 306,7 | 10,5 | 350,0 | 12,3 | 410,0 | 14,1 | 470,0 | 15,3 | 510,0 | 16,9 | 563,3 | 19,2 | 640,0 |
| 10 | | 9,1 | 151,7 | 11,1 | 185,0 | 12,4 | 206,7 | 14,1 | 235,0 | 16,5 | 275,0 | 19,0 | 316,7 | 20,7 | 345,0 | 22,8 | 380,0 | 25,9 | 431,7 |
| 15 | | 10,5 | 116,7 | 12,9 | 143,3 | 14,4 | 160,0 | 16,4 | 182,2 | 19,2 | 213,3 | 22,1 | 245,6 | 23,9 | 265,6 | 26,4 | 293,3 | 30,0 | 333,3 |
| 20 | | 11,6 | 96,7 | 14,2 | 118,3 | 15,9 | 132,5 | 18,0 | 150,0 | 21,1 | 175,8 | 24,3 | 202,5 | 26,4 | 220,0 | 29,1 | 242,5 | 33,0 | 275,0 |
| 30 | | 13,2 | 73,3 | 16,2 | 90,0 | 18,0 | 100,0 | 20,5 | 113,9 | 24,0 | 133,3 | 27,6 | 153,3 | 30,0 | 166,7 | 33,1 | 183,9 | 37,5 | 208,3 |
| 45 | | 14,8 | 54,8 | 18,2 | 67,4 | 20,3 | 75,2 | 23,1 | 85,6 | 27,0 | 100,0 | 31,1 | 115,2 | 33,8 | 125,2 | 37,3 | 138,1 | 42,3 | 156,7 |
| 60 | 1 | 16,1 | 44,7 | 19,8 | 55,0 | 22,0 | 61,1 | 25,0 | 69,4 | 29,3 | 81,4 | 33,8 | 93,9 | 36,7 | 101,9 | 40,5 | 112,5 | 45,9 | 127,5 |
| 90 | 1,5 | 18,0 | 33,3 | 22,1 | 40,9 | 24,7 | 45,7 | 28,0 | 51,9 | 32,8 | 60,7 | 37,7 | 69,8 | 41,0 | 75,9 | 45,2 | 83,7 | 51,3 | 95,0 |
| 120 | 2 | 19,5 | 27,1 | 23,9 | 33,2 | 26,6 | 36,9 | 30,2 | 41,9 | 35,4 | 49,2 | 40,8 | 56,7 | 44,3 | 61,5 | 48,9 | 67,9 | 55,5 | 77,1 |
| 180 | 3 | 21,7 | 20,1 | 26,6 | 24,6 | 29,7 | 27,5 | 33,7 | 31,2 | 39,5 | 36,6 | 45,4 | 42,0 | 49,3 | 45,6 | 54,4 | 50,4 | 61,8 | 57,2 |
| 240 | 4 | 23,4 | 16,3 | 28,7 | 19,9 | 32,0 | 22,2 | 36,3 | 25,2 | 42,6 | 29,6 | 49,0 | 34,0 | 53,2 | 36,9 | 58,7 | 40,8 | 66,6 | 46,3 |
| 360 | 6 | 26,0 | 12,0 | 31,9 | 14,8 | 35,5 | 16,4 | 40,4 | 18,7 | 47,3 | 21,9 | 54,4 | 25,2 | 59,1 | 27,4 | 65,2 | 30,2 | 74,0 | 34,3 |
| 540 | 9 | 28,8 | 8,9 | 35,4 | 10,9 | 39,5 | 12,2 | 44,8 | 13,8 | 52,5 | 16,2 | 60,4 | 18,6 | 65,6 | 20,2 | 72,4 | 22,3 | 82,2 | 25,4 |
| 720 | 12 | 31,1 | 7,2 | 38,1 | 8,8 | 42,5 | 9,8 | 48,3 | 11,2 | 56,5 | 13,1 | 65,1 | 15,1 | 70,7 | 16,4 | 78,0 | 18,1 | 88,5 | 20,5 |
| 1080 | 18 | 34,5 | 5,3 | 42,3 | 6,5 | 47,2 | 7,3 | 53,5 | 8,3 | 62,7 | 9,7 | 72,2 | 11,1 | 78,4 | 12,1 | 86,5 | 13,3 | 98,2 | 15,2 |
| 1440 | 24 | 37,1 | 4,3 | 45,5 | 5,3 | 50,8 | 5,9 | 57,6 | 6,7 | 67,5 | 7,8 | 77,7 | 9,0 | 84,4 | 9,8 | 93,1 | 10,8 | 105,7 | 12,2 |
| 2880 | 48 | 44,3 | 2,6 | 54,4 | 3,1 | 60,6 | 3,5 | 68,8 | 4,0 | 80,6 | 4,7 | 92,8 | 5,4 | 100,7 | 5,8 | 111,2 | 6,4 | 126,1 | 7,3 |
| 4320 | 72 | 49,1 | 1,9 | 60,3 | 2,3 | 67,2 | 2,6 | 76,3 | 2,9 | 89,4 | 3,4 | 102,9 | 4,0 | 111,7 | 4,3 | 123,3 | 4,8 | 139,9 | 5,4 |
| 5760 | 96 | 52,8 | 1,5 | 64,9 | 1,9 | 72,3 | 2,1 | 82,1 | 2,4 | 96,2 | 2,8 | 110,7 | 3,2 | 120,2 | 3,5 | 132,7 | 3,8 | 150,5 | 4,4 |
| 7200 | 120 | 55,9 | 1,3 | 68,7 | 1,6 | 76,5 | 1,8 | 86,9 | 2,0 | 101,8 | 2,4 | 117,2 | 2,7 | 127,2 | 2,9 | 140,4 | 3,3 | 159,3 | 3,7 |
| 8640 | 144 | 58,6 | 1,1 | 71,9 | 1,4 | 80,2 | 1,5 | 91,0 | 1,8 | 106,6 | 2,1 | 122,8 | 2,4 | 133,3 | 2,6 | 147,1 | 2,8 | 166,9 | 3,2 |
| 10080 | 168 | 60,9 | 1,0 | 74,8 | 1,2 | 83,4 | 1,4 | 94,7 | 1,6 | 110,9 | 1,8 | 127,7 | 2,1 | 138,6 | 2,3 | 153,0 | 2,5 | 173,6 | 2,9 |

Starkniederschlagshöhen und -spenden gemäß KOSTRA-DWD-2020

Rasterfeld 177132

(Zeile 177, Spalte 132)

Örtliche Unsicherheiten in Abhängigkeit von Wiederkehrzeit T und Dauerstufe D

| Dauerstufe D | | Wiederkehrzeit T | | | | | | | | |
|--------------|-----|------------------|-----|-----|-----|------|------|------|------|-------|
| | | 1 a | 2 a | 3 a | 5 a | 10 a | 20 a | 30 a | 50 a | 100 a |
| min | Std | ± % | ± % | ± % | ± % | ± % | ± % | ± % | ± % | ± % |
| 5 | | 10 | 11 | 12 | 12 | 13 | 14 | 14 | 14 | 15 |
| 10 | | 14 | 15 | 16 | 17 | 18 | 19 | 19 | 19 | 20 |
| 15 | | 16 | 18 | 19 | 19 | 20 | 21 | 22 | 22 | 23 |
| 20 | | 17 | 19 | 20 | 21 | 22 | 23 | 23 | 24 | 24 |
| 30 | | 19 | 20 | 21 | 22 | 23 | 24 | 25 | 25 | 26 |
| 45 | | 19 | 21 | 22 | 23 | 24 | 25 | 25 | 26 | 26 |
| 60 | 1 | 19 | 21 | 22 | 23 | 24 | 25 | 25 | 26 | 26 |
| 90 | 1,5 | 18 | 20 | 21 | 22 | 23 | 24 | 25 | 25 | 26 |
| 120 | 2 | 18 | 20 | 21 | 22 | 23 | 24 | 24 | 24 | 25 |
| 180 | 3 | 17 | 19 | 20 | 21 | 22 | 22 | 23 | 23 | 24 |
| 240 | 4 | 16 | 18 | 19 | 20 | 21 | 22 | 22 | 23 | 23 |
| 360 | 6 | 15 | 17 | 18 | 18 | 19 | 20 | 21 | 21 | 22 |
| 540 | 9 | 14 | 16 | 16 | 17 | 18 | 19 | 19 | 20 | 20 |
| 720 | 12 | 13 | 15 | 16 | 16 | 17 | 18 | 19 | 19 | 20 |
| 1080 | 18 | 13 | 14 | 15 | 15 | 16 | 17 | 17 | 18 | 18 |
| 1440 | 24 | 12 | 14 | 14 | 15 | 16 | 16 | 17 | 17 | 18 |
| 2880 | 48 | 12 | 13 | 13 | 14 | 14 | 15 | 15 | 16 | 16 |
| 4320 | 72 | 13 | 13 | 13 | 14 | 14 | 15 | 15 | 15 | 16 |
| 5760 | 96 | 13 | 13 | 13 | 14 | 14 | 14 | 15 | 15 | 15 |
| 7200 | 120 | 14 | 13 | 14 | 14 | 14 | 14 | 15 | 15 | 15 |
| 8640 | 144 | 14 | 14 | 14 | 14 | 14 | 14 | 15 | 15 | 15 |
| 10080 | 168 | 14 | 14 | 14 | 14 | 14 | 15 | 15 | 15 | 15 |

Parameter für abweichende T und D

Lokationsparameter ξ (Xi)

16,54686855

Skalenparameter α (Alpha)

5,23189964

Formparameter κ (Kappa)

-0,1

1. Koutsoyiannis-Parameter θ (Theta)

0,03537806

2. Koutsoyiannis-Parameter η (Eta)

0,74540141

Parameter für dauerstufenübergreifende Extremwertschätzung nach KOUTSOYIANNIS et al. 1998.

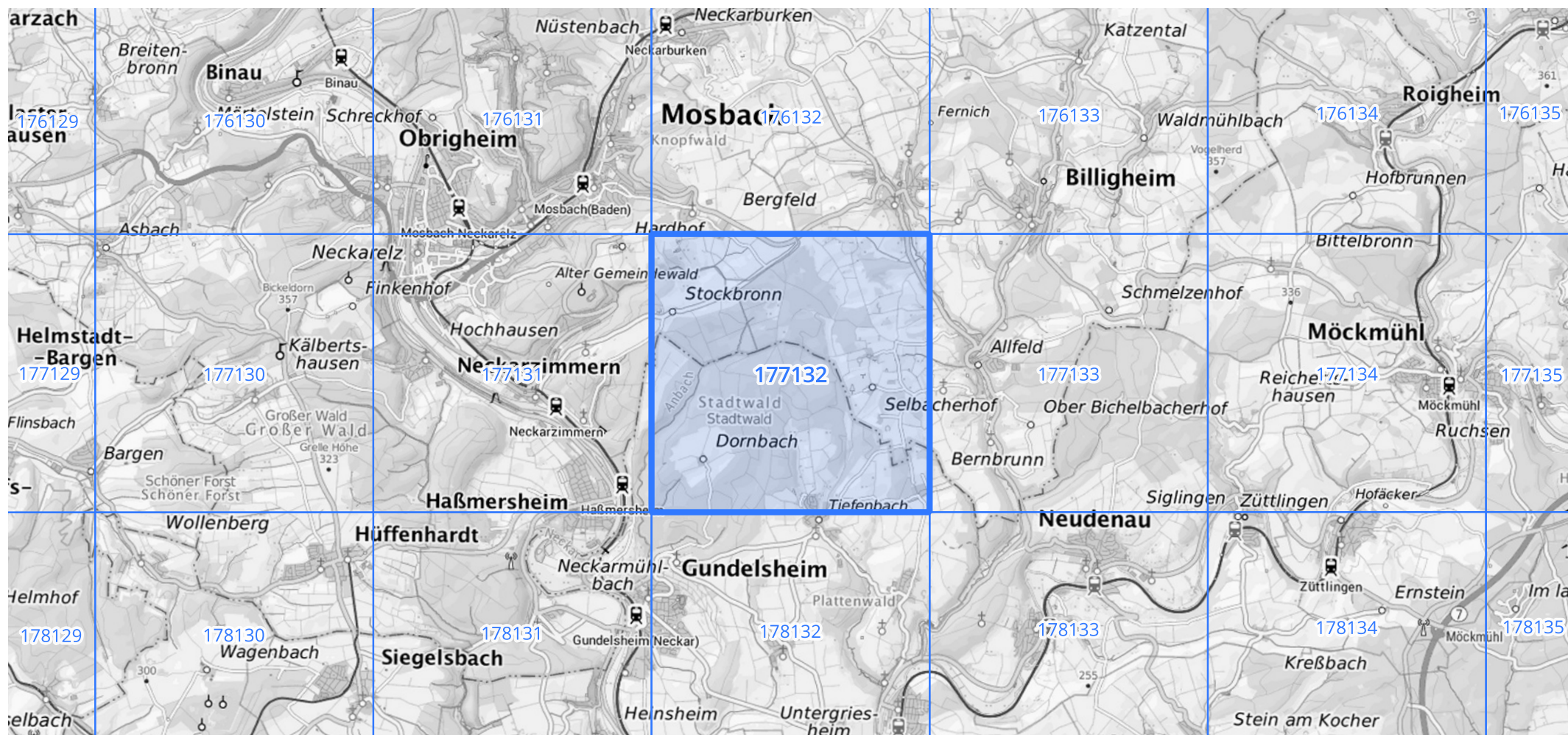
Siehe auch Anwendungshilfe zu KOSTRA-DWD-2020 des Deutschen Wetterdienstes.

Starkniederschlagshöhen und -spenden gemäß KOSTRA-DWD-2020

Rasterfeld 177132

(Zeile 177, Spalte 132)

Übersichtskarte des Rasterfeldes 177132, M 1 : 100 000



Quelle Rasterdaten: KOSTRA-DWD-2020 des Deutschen Wetterdienstes, Stand 12/2022.

Seite 3 von 3

Kartendarstellung: © Bundesamt für Kartographie und Geodäsie (2023), Datenquellen: https://sgx.geodatenzentrum.de/web_public/gdz/datenquellen/Datenquellen_TopPlusOpen.html

Für die Richtigkeit und Aktualität der Angaben wird keine Gewähr übernommen. Erstellt 01/2023.